## 紫花苜蓿 F-box 蛋白基因 MsFTL 的 克隆及功能分析

陈秀秀,张 形,余倩文,周 薇,安逸民,杜秉昊,郭长虹

(黑龙江省分子细胞遗传与遗传育种重点实验室/哈尔滨师范大学生命科学与技术学院,哈尔滨150000)

摘要: FTL(F-box Triple LRR protein)是 F-box 蛋白家族的成员,具有 F-box 保守结构域,在植物抵御逆境胁迫过程中起重要作用。本研究参考低温胁迫下紫花苜蓿特录组数据设计引物,通过 RT-PCR 克隆获得紫花苜蓿 MsFTL 基因,该基因的全长 1422 bp,编码 473 个氨基酸。该蛋白含有 1 个 F-box 结构域及 3 个 LRR 重复。系统进化分析表明,MsFTL 与蒺藜苜蓿 XP\_003626345.1 F-box/FBD/LRR-repeat protein 亲缘关系最近。两者蛋白序列比对发现共有 11 个差异位点。在低温、盐、干旱以及外源 ABA 处理下,MsFTL 基因受到诱导,表达量上调。构建植物过表达载体 pCBM-MsFTL,通过农杆菌介导法转化烟草。对经过抗性筛选、PCR 和 Real-time PCR 验证的转基因植株进行低温抗性鉴定。在 -4 ℃低温胁迫下,野生型烟草叶片出现了明显的萎蔫失水现象,而转基因烟草萎蔫程度相对较轻。生理检测结果表明,4 ℃处理 24 h 之后,转基因烟草的可溶性蛋白含量、可溶性糖含量、SOD 活性,CAT 活性高于野生型,MDA 含量低于野生型。本研究表明,MsFTL 基因在提高植物对低温胁迫的抗性方面具有重要的作用。

关键词: 紫花苜蓿; MsFTL 基因; 低温; 基因克隆; 功能分析

# Cloning and Functional Analysis of F-box Protein Gene MsFTL in Alfalfa (Medicago sativa L.)

CHEN Xiu-xiu, ZHANG Tong, YU Qian-wen, ZHOU Wei, AN Yi-min, DU Bing-hao, GUO Chang-hong

(Key Laboratory of Molecular Cytogenetics and Genetic Breeding of Heilongjiang Province/ College of Life Science and Technology, Harbin Normal University, Harbin 150000)

**Abstract:** FTL (F-box Triple LRR) protein belongs to the family of F-box proteins that play an important role in tolerance to low temperature. In this study, an *MsFTL* gene was isolated by candidate gene approach from alfalfa, and this gene was differently expressed in leaf under cold stress. The full-length cDNA of *MsFTL* gene was 1422 bp, which putatively encoded for 473 amino acids. By bioinformatic analysis, the MsFTL protein was found to carry an F-box domain and three LRR repeats in C-terminus. MsFTL showed homology closely to XP\_003626345.1, a member of F-box/FBD/LRR-repeat protein in *Medicago truncatula*, with 11 differential sites between the two proteins. The expression of *MsFTL* was induced by low temperature, salt, drought stress and ABA treatments. We generated the transformation construct and transformed the *MsFTL* into tobacco. Under -4 °C, wild-type tobacco leaves showed remarkable wilting, while the transgenic plants presented slightly stressed

收稿日期: 2018-09-29 修回日期: 2018-10-28 网络出版日期: 2018-11-23

URL: http://kns.cnki.net/kcms/detail/11.4996.S.20181123.0910.001.html

第一作者研究方向为植物基因工程, E-mail: 18846916536@ 163.com

通信作者:郭长虹,研究方向为植物基因工程, E-mail: kaku3008@ 126.com

**基金项目:** 国家自然科学基金(31770575,31470571); 国家高技术研究发展计划项目(2013AA102607); 黑龙江省重大攻关目(GA18B104); 国家转基因生物新品种培育重大专项(2016ZX08004-002)

Foundation project: National Natural Science Foundation of China (31770575, 31470571), Supported by National High Technology Research and Development Program of China (2013AA102607), Major Research Project in Heilongjiang Province (GA18B104), National Major Projects of Transgenic Organisms Breeding New Varieties (2016ZX08004-002)

phenotype. Transgenic plants accumulated higher content of soluble protein and soluble sugar than that of wild-type. The activity of SOD and CAT in transgenic plants was higher than those of wild type under low temperature ( $4 \, ^{\circ}\text{C}$ ) for 24 h. Moreover, the MDA content in transgenic plants was lower than that of wild type. Thus, these results suggested that overexpressing *MsFTL* might significantly improve tobacco plant tolerance to low temperature stress.

**Key words:** alfalfa; *MsFTL* gene; low temperature; gene clone; functional analysis

非生物胁迫是影响植物生长发育的关键因素。 当植物面对非生物胁迫时会通过自身的调节系统 来适应环境,而 F-box 蛋白参与的泛素蛋白酶水解 系统是植物维持正常生命活动的调节体系之一<sup>[1]</sup>。 在植物中, SCF类的 E3 泛素连接酶是研究最为深 人的连接酶, SCF 复合体包括 Skp1、Cullin/CDC53、 Rbx1 和 F-box 4 个亚基: F-box 蛋白作为靶蛋白的 受体决定了底物识别的特异性<sup>[2]</sup>。F-box 蛋白的 N 端有 40~60 个氨基酸残基组成 F-box 蛋白保守结构 域, C 端是与蛋白 - 蛋白互作的结构域, 如亮氨酸拉 链(LRR)、WD40、TRR、Kelch等, 这些结构域参与 泛素化的底物异性<sup>[3]</sup>。

F-box 蛋白在植物体内发挥重要作用,包括器 官发育、花器官特性、衰老、稳态、信号传导以及对 生物和非生物胁迫的响应<sup>[4]</sup>。拟南芥(Arabidopsis thaliana L.) 基因组编码 700 多个 F-box 蛋白,有几 个 F-box 蛋白参与干旱胁迫应答。霍冬英等<sup>[5]</sup>从 谷子 F-box 基因家族中鉴定出 19 个在干旱胁迫下 表达量上调的 F-box 基因, 其中 SiF-box18 基因对 干旱胁迫响应最为明显。Jain等[6]在水稻中鉴定 出 23 个 F-box 蛋白在盐胁迫下差异性表达。水稻 的 F-box 蛋白 OsMsr9 参与植物的盐胁迫应答,在 转基因拟南芥中 OsMsr9 通过调节可溶性糖和丙 二醛(MDA)等细胞相容性物质来增强耐盐性<sup>[7]</sup>。 Xu等[8]指出盐胁迫下,水稻 OsMsr9 表达量显著提 高。Min等[9]从小麦穗中分离出一个F-box蛋白 基因,发现 Triticum aestivum cyclin F-box 蛋白结构 域(TaCFBD)基因在冷胁迫下表现出升高的表达 水平。Chen等[10]发现黄瓜 CsTIR/AFB 基因含有 F-box 结构域,异位表达可以提高拟南芥的耐盐性。 Chen 等[11] 指出辣椒(Capsicum annuum L.) CaFbox 参与植物激素应答和非生物胁迫响应。以上研 究表明, F-box 蛋白在干旱、盐等胁迫下, 起到非常 重要的作用。

紫花苜蓿(Medicago sativa L.)是多年生豆科牧草,因其具有产量高、蛋白质含量丰富、适口性好等优良特点,被誉为"牧草之王"<sup>[12]</sup>。中国是紫花

苜蓿的重要生产国之一,然而,低温等极端的环境条 件影响紫花苜蓿生长和品质,而且严重限制其生存 和分布,因此开展紫花苜蓿抗低温基因的研究,对通 过基因工程手段提高紫花苜蓿抗低温能力具有重 要的意义。肇东苜蓿具有抗低温、高产等优质特点, 黑龙江属于寒冷地区,肇东苜蓿作为紫花苜蓿的地 方性品种,越冬率在90%以上[13]。本课题组在紫 花苜蓿低温胁迫转录组测序工作中,发现 MsFTL 基 因明显上调表达。前人主要在一些植物的干旱、盐 和少数低温胁迫中对 F-box 家族基因有报道,关于 紫花苜蓿 MsFTL 基因的抗低温功能目前还不明确。 本研究以抗低温能力较强的紫花苜蓿品种肇东苜蓿 作为材料,克隆 MsFTL 基因,并运用 real-time PCR 方法研究在低温、盐、干旱以及外源 ABA 处理下, MsFTL 在紫花苜蓿中的表达特性。构建 MsFTL 植 物表达载体,转化烟草,并在低温胁迫条件下对转基 因烟草进行相关表型和生理指标分析。运用分子生 物学手段验证 MsFTL 响应低温胁迫过程中所起的 作用,为通过转基因技术改善植物抗低温能力奠定 基础。

## 1 材料与方法

#### 1.1 材料与试剂

从肇东苜蓿(Medicago sativa L. cv. Zhaodong)克隆得到 MsFTL基因。用于转化的植物材料为烟草(Nicotiana tabacum L. cv. SR-1)。Gelmini Purification Kit 胶回收试剂盒、RNAiso plus 试剂盒、质粒提取试剂盒均来自 TIANGEN 公司;反转录试剂盒、THUNDERBIRD SYBR® qPCR Mix 试剂盒来自 TOYOBO公司;克隆载体 pMD18-T 试剂盒、胶回收试剂盒来自 TAKARA公司;表达载体 pCBM、大肠杆菌 TOP10 为实验室保存;克隆载体抗生素为氨苄青霉素(Amp,Ampicillin)来自 Amresco公司;表达载体抗生素为卡那霉素(Km,Kanamycin)来自 Sigma 公司;紫花苜蓿 MsFTL基因在 4 种处理下表达模式所使用试剂:氯化钠来自上海西陇化工公司、甘露醇和脱落酸以及 6 苄基腺嘌呤(6-BA)

和萘乙酸(NAA)来自纳川生物技术工作室; MS 培养基所需试剂和生理指标测定所需试剂均来自上海西陇化工公司,部分试剂如硝酸铵、硝酸钾、硫酸镁、三氯甲烷、磷酸二氢钾等。

#### 1.2 试验方法

1.2.1 MsFTL基因的克隆 紫花苜蓿总RNA提取参照RNAiso plus 试剂盒的说明书进行。以提取的RNA作为模板,反转录成 cDNA,根据肇东苜蓿低温胁迫的转录组测序中得到的 MsFTL基因的核苷酸序列,分析获得该基因的 CDS 序列,设计引

物 MsFTL-F 和 MsFTL-R (表 1)。将上一步获得的 cDNA 进行稀释,利用 ExTaq DNA polymerase (5 U/ $\mu$ L)进行 PCR 扩增。反应体系包含模板 DNA (50 ng/ $\mu$ L)5  $\mu$ L、 $10 \times$  PCR Buffer 5  $\mu$ L、dNTP Mix 4  $\mu$ L、ExTaq DNA polymerase 0.25  $\mu$ L、正、反向引物 (10  $\mu$ mol/L)各 2  $\mu$ L,用 ddH<sub>2</sub>O 补足至 50  $\mu$ L。反应条件为 94  $^{\circ}$ C 5 min; 94  $^{\circ}$ C 30 s、50  $^{\circ}$ C 30 s、72  $^{\circ}$ C 90 s、30 个循环。用 1% 琼脂糖凝胶分离 PCR 产物,将目的片段胶回收后与 pMD18-T 克隆载体连接,送至上海生工公司测序。

表 1 本研究中所用到的引物

Table 1 Primers used in this study

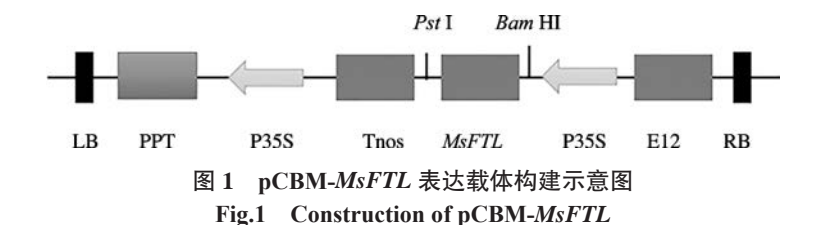
引物名称 Primer name	引物序列 Primer sequence (5'-3')	用途 Use
Time name	Timer sequence (3-3)	
MsFTL-F	TGGGTTAGGTTAGGATTA	ORF 的扩增
MsFTL-R	TTTCTAGCCTTCTTACAGT	
MsFTLq-F	TCGCATTAGTGAGTTGTCTGA	实时荧光定量 PCR
MsFTLq-R	TGACTTGTTTATCCTGCGTAT	
GAPDH-S	GTGGTGCCAAGAAGGTTGTTAT	实时荧光定量 PCR
GAPDH-A	CTGGGAATGATGTTGAAGGAAG	内参基因
MsFTL-F	CGCAGGATAAACAAGTCA	转基因烟草的鉴定
MsFTL-R	ATACCAAATCGCAGCATA	

1.2.2 生物信息学分析 利用软件 ContigExpress<sup>[14]</sup>对重复测序结果进行拼接,通过在线 ORF Finder (https://www.ncbi.nlm.nih.gov/orffinder/)找到 *MsFTL*基因的开放读码框。将预测的 MsFTL 氨基酸序列 利 用 NCBI protein BlAST (https://blast.ncbi.nlm.nih.gov/Blast.cgi)进行比对,同蒺藜苜蓿 XP\_003626345.1 F-box/FBD/LRR-repeat protein 的结构域比较,利用软件 Clustal X<sup>[15]</sup>找出其所相对应的结构域中氨基酸的差异位点。从 NCBI 获取地三叶(*Trifolium subterraneum*)、鹰嘴豆(*Cicer arietinum*)、月季(*Rosa chinensis*)等其他物种F-box蛋白家族的氨基酸序列,用 MEGA 5.0<sup>[16]</sup>软件中 NJ (Neighbor-Joining)法构建系统发育进化树。

**1.2.3** 总 RNA 提取及实时荧光定量 PCR 分析 将紫花苜蓿种子种植于蛭石中,室温(25  $^{\circ}$ C,16 h 光照)培养,每 3 d 浇一次 Hoagland 营养液。选取 4 周龄长势一致的紫花苜蓿植株于 4  $^{\circ}$ C、200 mmol/L NaCl、150 mmol/L 甘露 醇和 30  $\mu$ mol/L ABA 处理 0 h、1 h、3 h、6 h、12 h、24 h 并取材。提取相应材料总 RNA,用于 qRT-PCR。设计 *MsFTL* 荧光定量表达引物(表 1)。以紫花苜蓿 *GAPDH* 为 qRT-PCR

内 参 基 因 (表 1)。根据 THUNDERBIRD SYBR® qPCR Mix 试剂盒使用说明书配置反应液,反应体系为 1/10 cDNA first-strand  $2.0~\mu$ L、 $2\times$  SYBR Premix Ex Taq  $10~\mu$ L、 $50\times$  ROX Reference Dye  $0.4~\mu$ L、正、反向引物各  $0.8~\mu$ L、用 ddH<sub>2</sub>O 补至  $20~\mu$ L。用实时荧光定量 PCR 仪进行 PCR 扩增,反应条件为 95 ℃ 15~s; 55~% 30~s; 72~% 30~s; 40~%循环。其中最后一步为扩增产物的溶解曲线分析,以确定引物的特异性。进行 qRT-PCR 反应时,每个样品设置 3~%技术重复。qRT-PCR 结果采用  $2^{-\Delta\Delta CT}$  法计算基因表达量。

1.2.4 MsFTL基因植物表达载体构建和转基因烟草的获得 利用 Pst I和 Bam HI 双酶切,将克隆载体的 MsFTL 基因连接到 pCBM 载体上,从而构建出 pCBM-MsFTL 重组 载体(图1)。将构建的重组载体转化农杆菌 EHA105 菌株,获得阳性菌株后,采用叶盘法侵染烟草<sup>[17]</sup>。将烟草叶片放入含有 6-BA 和 NAA 的 MS 培养基中暗培养 3 d。将叶片移至含有草丁膦的筛选培养基,培养 20 d 左右长出不定芽,移至 MS 培养基。提取已生根抗性植株 DNA,通过 PCR 检测,从而获得转基因株系。



1.2.5 转基因烟草低温处理及生理指标测定 长势一致的野牛型烟草和转基因烟草的组培苗,移 入蛭石和培养土(1:1)中,室温(25 ℃,16 h 光照) 培养1个月左右,每3d浇一次 Hoagland 营养液, 4 ℃冷驯化 4 h, 之后降到 -4 ℃处理 1.5 h, 每个株系 设置3个重复,在低温胁迫过程中,观察其表型。并 参照 Zhao 等[18]的方法测定相对电导率,取低温处 理后的野牛型烟草和转基因烟草植株相同位置的 叶片,每片叶子用直径约 0.5 cm 的打孔器进行打 孔,每10片烟草叶圆片放于20 mL 去离子水中,通 过真空泵抽真空 15 min, 静置 20 min 后, 利用电导 仪测得 S1。再煮沸 20 min, 凉置室温, 测得 S2, S1/ S2×100% 即为电导率。将培养1个月左右的野生 型烟草和转基因烟草 4 ℃处理 24 h,取其叶片,参 照 Dhindsa 等[19]的方法测可溶性蛋白、可溶性糖和 丙二醛(MDA),参照 Shi 等[20]的方法测超氧化物 歧化酶(SOD),参照Aebi<sup>[21]</sup>的方法测过氧化氢酶

1.2.6 数据分析 用 SPSS 16.0 统计软件对不同 非生物胁迫下 MsFTL 基因的表达模式、MsFTL 基因相对表达量测定,低温胁迫下生理指标数据进行显著性分析,所有数据以平均值 ± 标准误差 (mean ± SEM)表示,两组间差异采用 t 检验分析,星号表示差异显著(\*P<0.05,\*\*P<0.01)。两组以上采用单因素方差分析(One-way ANOVA)进行检验分析。不同小写字母表示差异显著,P<0.05 则被

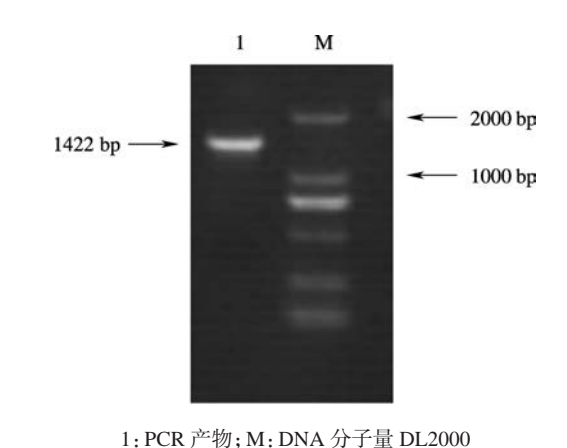
(CAT)。每个试验至少3次重复。

认为差异具有统计学意义。

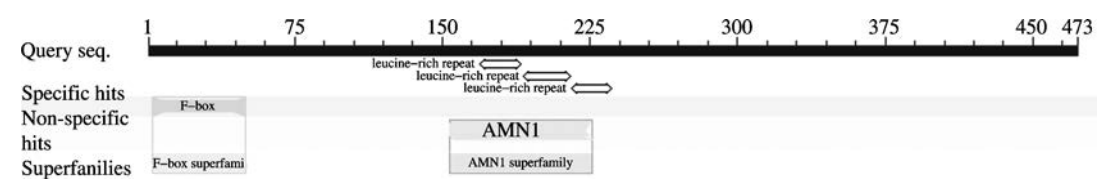
#### 2 结果与分析

#### 2.1 紫花苜蓿 MsFTL 基因克隆及蛋白结构域分析

以紫花苜蓿 RNA 反转录成的 cDNA 为模板, 克隆得到一条约 1400 bp 的条带(图 2),对得到的条带进行回收测序分析,得到该基因开放阅读框全长 1422 bp,编码 473 个氨基酸。对获得的 MsFTL蛋白进行分析(图 3),结果显示, MsFTL蛋白的 N端为一个 F-box 基序,从 N端的第 3 个氨基酸残基开始,到 N端的第 50 个氨基酸残基结束, C端为 3 个 LRR 重复排列组成的保守结构域,因此 MsFTL属于 F-box 蛋白家族成员。



1: PCR products, M: DNA marker DL2000 图 2 FTL 基因的 PCR 扩增 Fig.2 The PCR fragment of FTL gene



MsFTL 蛋白包含 1 个 F-box 结构域以及 C 端包含 3 个 LRR 重复 MsFTL protein contained a F-box domain and three LRR repeats C-terminus

#### 图 3 MsFTL 蛋白结构域

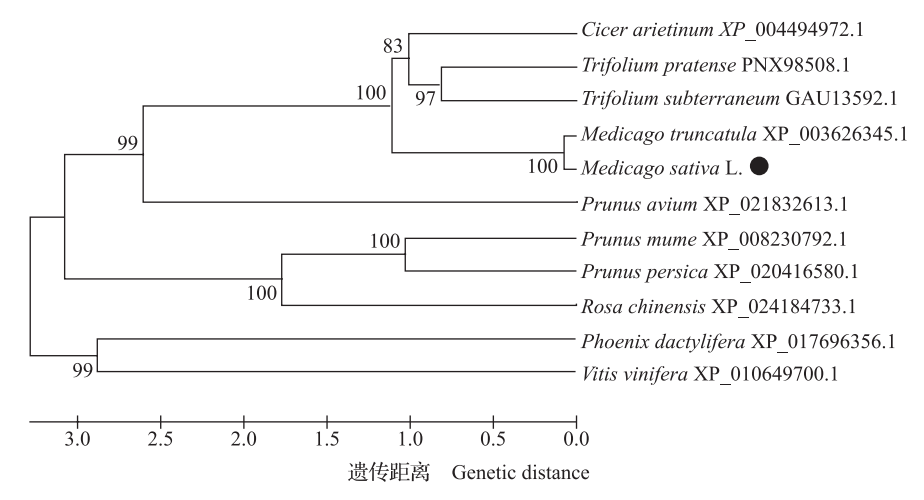
Fig.3 Predicted functional domains of MsFTL

#### 2.2 MsFTL 氨基酸序列同源性分析

将紫花苜蓿 MsFTL 蛋白序列与蒺藜苜蓿、 鹰嘴豆、地三叶和月季等 10 种相似度较高的 F-box 蛋白序列进行比对,采用 MEGA 5.0 软件构 建系统进化树(图4),发现 MsFTL 与蒺藜苜蓿 XP\_003626345.1 亲缘关系最近,其次是鹰嘴豆、红

车轴草和地三叶。进一步将 MsFTL 蛋白序列与蒺藜 苜蓿 XP\_003626345.1 蛋白序列相比,发现蛋白序列相似性为 96%,两者差异位点共有 11 个,其中 F-box 结构

域内的差异位点有2个,其他位置有9个,结构域内在第19个氨基酸处出现了1个甲硫氨酸的替换,在第54个氨基酸处出现了1个丝氨酸的替换(图5)。



Cicer arietinum: 鹰嘴豆; Trifolium pratense: 红车轴草; Trifolium subterraneum: 地三叶; Medicago truncatula: 蒺藜苜蓿; Medicago sativa L.: 紫花苜蓿; Prunus avium: 樱桃; Prunus mume: 梅花; Prunus persica: 桃树; Rosa chinensis: 月季; Phoenix dactylifera; 海枣; Vitis vinifera: 葡萄

#### 图 4 多物种间 F-box 蛋白的进化树 Fig.4 Phylogenetic tree of F-box proteins among multiple species

MtFTL: 蒺藜苜蓿 FTL 氨基酸序列; MsFTL: 紫花苜蓿 FTL 氨基酸序列; 黑框代表差异氨基酸
MtFTL: Amino acid sequence of FTL of *Medicago truncatula*, MsFTL: Amino acid sequence of FTL of *Medicago sativa* L.,

The black box represents the different amino acids

图 5 MsFTL 和蒺藜苜蓿 XP\_003626345.1 蛋白序列的比对 Fig.5 Sequence alignment between MsFTL and XP\_003626345.1

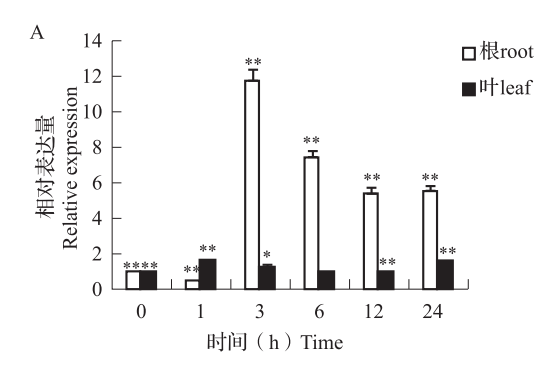
#### 2.3 紫花苜蓿 MsFTL 基因的表达模式

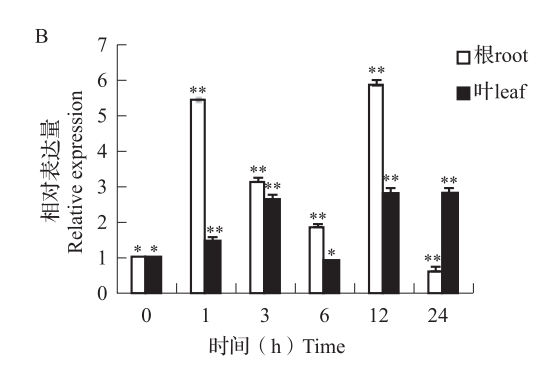
在低温、盐、干旱以及外源ABA处理下, MsFTL 的表达量均有变化。在低温处理下, MsFTL 在根中表达明显高于叶中表达, 3 h 时根中表达量达到峰值, 峰值约为对照的12倍, 随后下降; 而在叶中表达较为平缓(图6A)。NaCl 处理下, 处理1h时 MsFTL 在根中表达显著提高, 随后下降,

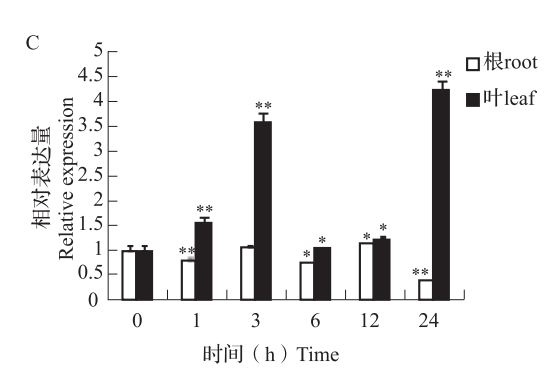
12 h 时达到峰值,呈波浪式表达;叶也呈现波浪式表达,同样 12 h 时表达量最高(图 6B)。干旱处理下, MsFTL 在根和叶的表达差异比较明显,在根中的表达呈现波浪式表达;而在叶中表达 3 h 时表达量为对照的 3.5 倍,随后下降,24 h 时达到峰值,峰值约为对照的 4 倍,说明 MsFTL 受渗透胁迫诱导表达(图 6C)。外源 ABA 处理下,在 3 h 前 MsFTL 根

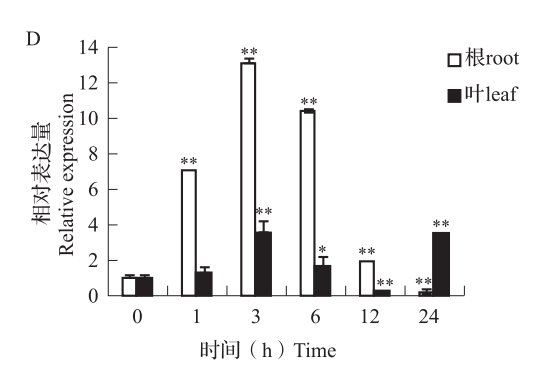
中表达持续上升,3h时达到峰值,峰值约为对照的12倍,随后逐渐降低,24h表达量最低;*MsFTL*叶的表达模式呈现波浪式,3h时达到最大,随后在12h

时下降,在24h时又达到最高,这表明 MsFTL 可能在ABA 信号通路中起作用(图6D)。









A: 低温处理 (4 °C ), B: 盐处理 (200 mmol/L NaCl ); C: 干旱处理 (150 mmol/L Mannitol ); D: ABA 处理 (30 μmol/L ABA ); \*: P<0.05; \*\*: P<0.01; 误差线为每组的标准误差 (n=3 ), 下同

A: Cold treatment ( 4  $^{\circ}$ C ), B: Salt treatment ( 200 mmol/L NaCl ), C: Drought treatment ( 150 mmol/L Mannitol ), D: ABA treatment ( 30  $\mu$ mol/L ABA ),

\*: P<0.05, \*\*: P<0.01, Error bars represent the standard error of sample mean (n=3), the same as below

#### 图 6 不同非生物胁迫下 MsFTL 基因的表达模式分析

Fig. 6 The expression analysis of MsFTL gene in different abiotic stress

#### 2.4 转基因烟草的获得以及抗寒性分析

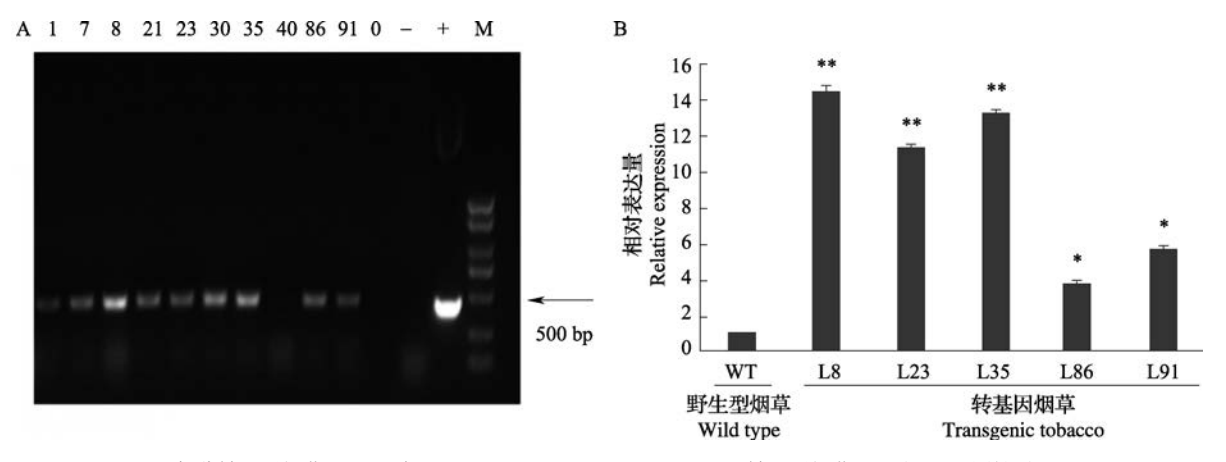
利用农杆菌介导转化烟草。获得56株草丁膦 筛选抗性植株,经 PCR 鉴定 28 株为阳性植株(图 7A)。通过Real-time PCR分析 MsFTL 在转基因植 株中的表达。结果表明, MsFTL 在所有转基因株系 均有表达,其中L8、L23和L353个株系表达量相 对较高,选取这3个株系用做下一步低温胁迫表型 及生理指标分析(图 7B)。将长势一致的转基因烟 草和野生型烟草4℃冷驯化4h后降到-4℃处理 1.5 h,观察表型(图 8A)。结果表明,低温胁迫后, 野生型烟草出现了严重的萎蔫失水现象,转基因烟 草则程度较轻,说明低温胁迫下,转基因烟草比野生 型烟草对低温胁迫更具有耐受性。对低温胁迫下转 基因烟草和野生型烟草的叶圆片进行相对电导率的 测定,每个株系有3个重复植株(图8B)。结果表 明,25 ℃时,转基因烟草和野生型烟草的相对电导 率值相似,差异不显著;而低温处理后转基因烟草 的相对电导率明显低于野生型烟草,表明在低温胁 迫下,转基因烟草能减少植物质膜受损程度。

#### 2.5 低温胁迫下转基因烟草的生理指标分析

将转基因烟草和野生型烟草经 4 ℃处理 24 h,取叶片测定其生理指标(图 9)。结果表明,转基因烟草的可溶性蛋白和可溶性糖含量高于野生型株系,说明转基因能增加植物可溶性蛋白和可溶性糖的积累(图 9A、B)。转基因植株的 SOD、CAT 的活性高于野生型植株。说明在低温胁迫条件下,转基因株系抗氧化能力高于野生型植株(图 9C、D)。25 ℃时,转基因烟草和野生型烟草的 MDA 含量差异不显著,低温处理后,转基因烟草 MDA 含量低于野生型烟草且差异显著(P < 0.05)(图 9E)。

### 3 讨论

F-box 蛋白家族在真核生物中广泛存在,家族成员数量庞大。Bai等<sup>[22]</sup>首次发现周期蛋白 Cyclin

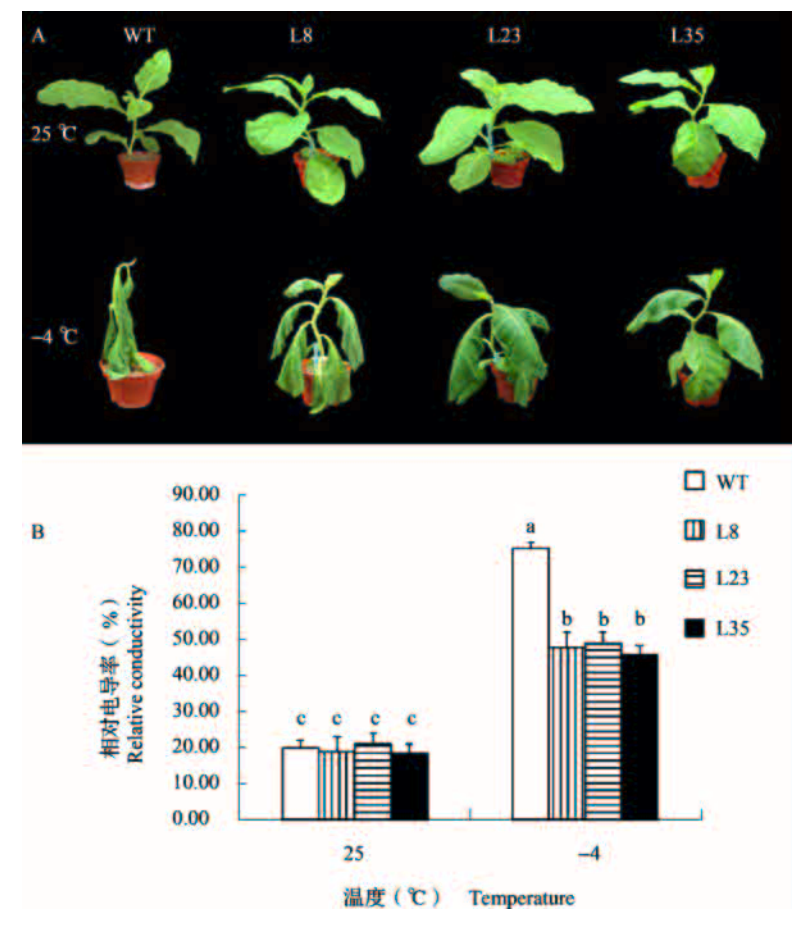


A: 部分转基因烟草 PCR 鉴定; 1、7、8、21、23、30、35、40、86、91: 转基因烟草; 0: 对照; -: 阴性对照; +: 阳性对照; M: Marker DL2000; B: 相对表达量

A: PCR detection of transgenic tobacco, 1, 7, 8, 21, 23, 30, 35, 40, 86, 91: Transgenic tobacco, 0: control, -: Negative control, +: Positive control, M: Marker DL2000 B: Relative expression identification of transgenic tobacco

图 7 部分转基因烟草 PCR 鉴定和相对表达量测定

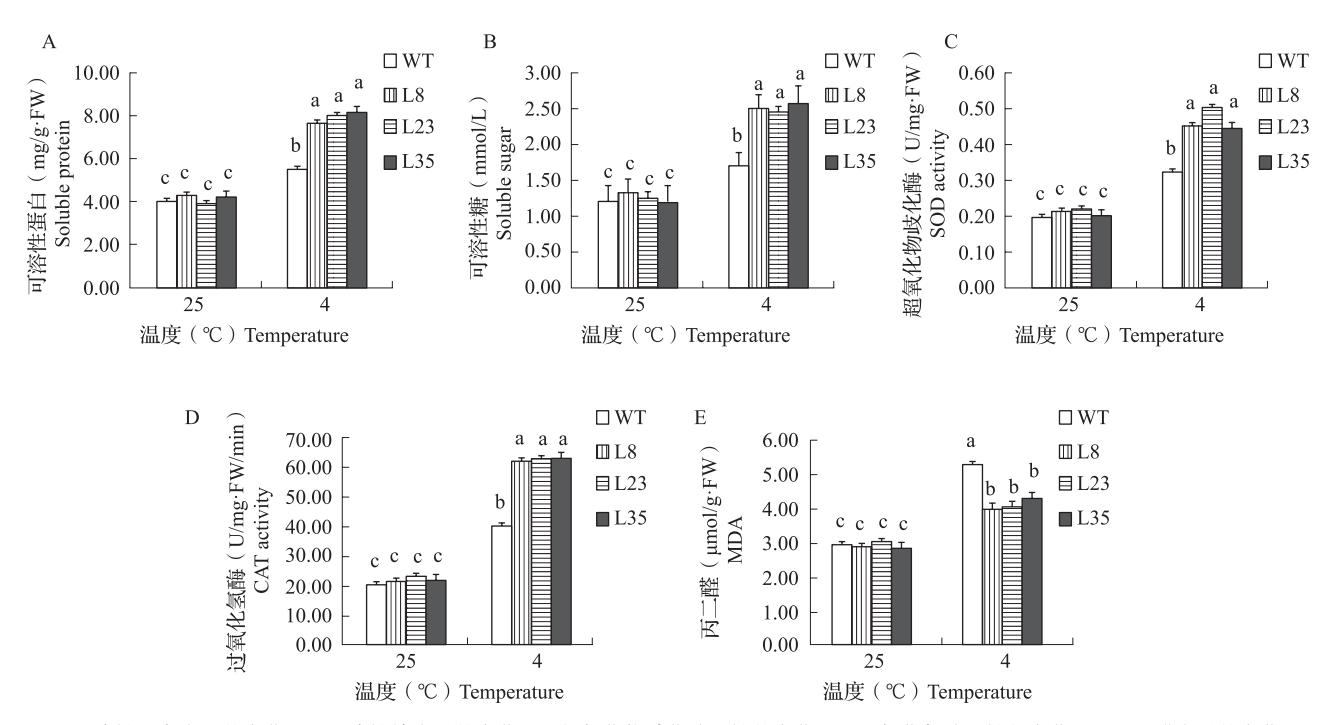
Fig.7 PCR detection and relative expression identification of transgenic tobacco



A:-4 ℃处理下转基因烟草和野生型烟草的表型观察; B:-4 ℃处理下转基因烟草和野生型烟草的相对电导率测定; WT:野生型烟草; L8、L23、L35: 转基因烟草。不同小写字母代表差异显著( P<0.05 ); 误差线为每组的标准误差( n=3 ),下同 A: Phenotypic on transgenic tobacco and wild type tobacco under -4 ℃, B: Relative conductivity on transgenic tobacco under -4 ℃, WT: Wild type, L8, L23, L35: Transgenic tobacco. The different letter indicates that the difference was significant ( P<0.05 ), Error bars represent the standard error of sample mean ( n=3 ), The same as below

图 8 转基因烟草的低温胁迫表型和相对电导率的测定

Fig.8 Phenotype on transgenic tobacco and relative conductivity of transgenic gene tobacco under low temperature stress



A:可溶性蛋白含量的变化; B:可溶性糖含量的变化; C:超氧化物歧化酶活性的变化; D:过氧化氢酶活性的变化; E:丙二醛含量的变化; WT: 野生型烟草; L8, L23, L35: 转基因烟草

A: Change of soluble protein content, B: Change of soluble sugar content, C: Change of superoxide dismutase (SOD) activity, D: Change of Catalase (CAT) activity, E: Change of malondialdehyde (MDA) content, WT: Wild-type, L8, L23, L35: Transgenic tobacco plants

#### 图 9 低温胁迫下野生型烟草和转基因烟草的生理指标

Fig.9 Physiological indicators of wild-type tobacco and transgenic tobacco under low temperature stress

F含有 F-box 结构域。目前已分别在酵母、果蝇、线 虫和人类中报道了 F-box 基因[23]。于兰芳等[24]研 究发现,葡萄 VvF-box5 的过表达可以提高转基因拟 南芥的耐旱性。在植物中,水稻、大豆和玉米分别含 有 678 个、509 个和 359 个 F-box 基因 [6,25-26]。 F-box 蛋白参与多种细胞生理过程,包括细胞周期转换,转 录调控和信号转导等[8]。研究表明,许多 F-box 基 因参与了各种非生物和生物胁迫应答。Li 等<sup>[27]</sup>发 现,含有F-box结构域的AtPP2-B11基因,其表达 受干旱胁迫诱导,过表达 AtPP2-B11 使拟南芥对干 旱更敏感,表明 AtPP2-B11 作为拟南芥的负调节因 子在干旱胁迫中起着重要作用。Zhao等<sup>[28]</sup>发现小 麦中F-box 基因 TaFBA1, 过表达可以提高烟草对 盐的耐受性。An 等[29] 发现 MAX2 是一种多功能 的 F-box 蛋白,过表达 MdMAX2 能够提高植株的耐 盐和耐旱性。本研究通过对低温胁迫的肇东苜蓿 转录组测序分析发现, MsFTL 基因表达上调, 暗示 MsFTL 基因可能在紫花苜蓿抵抗低温胁迫过程中 发挥重要作用。克隆获得的 MsFTL 基因, MsFTL 蛋白具有 F-box 蛋白结构域,该基因受低温、盐、干 旱以及外源 ABA 处理下上调表达。

渗透胁迫物质通过多种途径在植物渗透耐受

性中发挥作用,如保护酶不被变性、稳定膜、大分子 或蛋白质的结构等。Hou等[30]研究发现,在低温 胁迫下,转 VvBAP1 基因拟南芥的可溶性蛋白和 可溶性糖的含量高于野生型,提高了拟南芥对低温 的耐受性。Gu 等[31]研究发现低温胁迫下拟南芥 突变体 AtDUF1517 的可溶性蛋白和可溶性糖的含 量低于对照组,降低了对低温的耐受性。为了研究 MsFTL 基因在抵抗低温胁迫方面的功能,将该基因 转化到了烟草中。在低温胁迫后,转基因烟草表现 出较强的抗性表型。同时,转基因烟草的可溶性蛋 白和可溶性糖都高于对照烟草。推测可能是转基 因烟草产生更多的可溶性蛋白和可溶性糖来抵御 低温胁迫。研究表明低温胁迫下,植物中会产生氧 自由基,即活性氧。活性氧不仅对植物细胞器和细 胞膜有损伤,还会对核酸和蛋白质等大分子物质有 伤害[32]。植物保护酶系统可以作为抗寒性指标,包 括 SOD、CAT 等,间接反应植物的耐寒性[33]。 Zhu 等[34]研究表明,在低温胁迫下,转 CsSPMS 基因烟 草的 SOD 和 CAT 的活性高于野生型,并对低温具 有较强的耐受性。本研究发现,低温胁迫下,转基因 烟草的 SOD、CAT 活性高于野牛型,推测有可能是 过表达 MsFTL 使烟草产生更多的 SOD 和 CAT 来 抵御低温。MDA是一种脂质过氧化产物,研究表明膜脂的氧化反应导致 MDA在植物中积累,发现MDA被广泛用作植物对低温胁迫反应的氧化性脂质损伤的可靠标记物<sup>[35-36]</sup>。Nelofer等<sup>[37]</sup>研究发现,在低温胁迫下,金盏花处理组的 MDA高于对照组。本研究的结果显示,低温胁迫下,转基因植株 MDA含量低于野生型,说明过表达 MsFTL 加强了膜的稳定性,进而增强植物的低温抗性。

本研究通过低温、盐、干旱以及外源 ABA 处理, MsFTL 基因表达水平以及在低温胁迫下的表型和生理实验对 MsFTL 基因的功能进行了探究。 MsFTL 可能通过参与小分子有机物的积累、活性氧代谢等代谢通路的调控提升植物对低温胁迫的抗性。而 MsFTL 在其他胁迫以及植物发育方面是否同样重要仍有待进一步研究。

#### 参考文献

- [1] 许克恒,张云彤,张莹,王彬,王法微,李海燕. 植物 F-box 基 因家族的研究进展. 生物技术通报, 2018, 32(1): 26-32 Xu K H, Zhang Y T, Zhang Y, Wang B, Wang F W, Li H Y. Research progress of plant F-box gene family. Biotechnol Bulletin, 2018, 32(1): 26-32
- [2] Koo A J, Thireault C, Zemelis S, Poudel A N, Zhang T, Kitaoka N F, Brandizzi M H, Howe G A. Endoplasmic reticulum-associated inactivation of the hormone jasmonoyl-L-isoleucine by multiple members of the cytochrome P45094 family in *Arabidopsis*. Journal of Biological Chemistry, 2014, 289 (43): 29728-29738
- [3] Jin J, Cardozo T, Lovering R C, Elledge S J, Pagano M, Harper J W. Systematic analysis and nomenclature of mammalian F-box proteins. Genes & Development, 2004, 18 (21); 2573-2580
- [4] Jana J R, Vignesh D, Parameswari P, Sangeeth P D, Su R C, So Y Y, Seongmin H, Sang H O, Man H O, Yong P L. F-Box genes in Brassica rapa: genome-wide identification, structural characterization, expressional validation, and comparative analysis. Plant Molecular Biology Reporter, 2018, 36 (3): 500-517
- [5] 霍冬英,郑炜君,李盼松,徐兆师,周永斌,陈明,马有志,闵东红,张小红.谷子 F-Box 家族基因的鉴定,分类及干旱响应.作物学报,2014,40(9):1585-1594
  Huo D Y, Zheng W J, Li P S, Xu Z S, Zhou Y B, Chen M, Ma Y Z, Min D H, Zhang X H. Millet F-Box family gene identification, classification and drought response.Acta Agronomica Sinica, 2014, 40(9):1585-1594
- [6] Jain M, Ni A, Arora R, Agarwal P, Ray S, Harma PS, Kapoor S, Tyagi AK, Hurana J PK. F-Box proteins in rice. Genome-wide analysis, classification, temporal and spatial gene expression during panicle and seed development, and regulation by light and abiotic stress. Plant Physiology, 2007, 143 (4): 1467-1483
- [7] Tyler L, Thomas S G, Hu J, Dill A, Alonso J M, Ecker J R, Sun T. DELLA proteins and gibberellin-regulated seed germination and floral development in *Arabidopsis*. Plant

- Physiology, 2004, 135 (38): 1008-1019
- [8] Xu G Y, Cui Y C, Wang M L. OsMsr9, a novel putative rice F-box containing protein, confers enhanced salt tolerance in transgenic rice and *Arabidopsis*. Molecular Breeding, 2014, 34 (21): 1055-1064
- [9] Min J H, Dae Y K, Si Y K, Dong S K, Jin B K, Yong W S. Wheat F-box protein recruits proteins and regulates their abundance during wheat spike development. Molecular Biology Reports, 2012, 42 (18): 132-143
- [ 10 ] Chen Z H, Li M T, Yuan Y. Ectopic expression of cucumber ( *Cucumis sativus* L. ) *CsTIR/AFB* genes enhance salt tolerance in transgenic *Arabidopsis*. Plant Cell Tissue and Organ Culture, 2017, 131 (1): 107-118
- [ 11 ] Chen R, Guo W, Yin Y, Gong Z H. A novel F-Box protein CaF-Box is involved in responses to plant hormones and abiotic stress in Pepper ( *Capsicum annuum* L. ). International Journal of Molecular Sciences, 2014, 15 (2): 2413-2430
- [12] 曹宏,章会玲,盖琼辉,陈红,赵满来.22个紫花苜蓿品种的 引种试验和生产性能综合评价.草业学报,2011,20(6): 219-229 Cao H, Zhang H L, Gai Q H, Chen H, Zhao M L. Comprehensive evaluation of introduction and performance of 22 alfalfa varieties. Journal of Grassland Science, 2011,20(6):
- [13] 隋勇,刘长恩. 肇东市苜蓿产业化发展的现状与对策. 中国 乳业, 2012, 21(5): 11-12 Sui Y, Liu C E. Current situation and countermeasures of Alfalfa industrialization in Zhaodong city. China Dairy Industry, 2012, 21(5): 11-12

219-229

- [ 14 ] Lu G Q, Moriyama E N. Vector NTI, a balanced all-in-one sequence analysis suite. Briefings in Bioinformatics, 2004, 5 (4): 378-388
- [ 15 ] Thompson J D, Gibson T J, Plewniak F. The CLUSTAL\_X windows interface: flexible strategies for multiple sequence align-ment aided by quality analysis tools. Nucleic Acids Research, 1997, 25 ( 24 ): 4876-4882
- [ 16 ] Tamura K, Peterson D, Peterson N. MEGA5: Molecular evo-lutionary genetics analysis using maximum likelihood, evolutionary distance, and maximum parsimony methods. Molecular Biology and Evolution, 2011, 28 (10): 2731-2739
- [17] Hoekema A, Hirsch P R, Hooykaas P J. A binary plant vector strategy based on separation of vir-and T-region of the Agrobacterium tumefaciens Ti-plasmid. Nature, 1983, 303 (5913): 179-180
- [ 18 ] Zhao L N, Liu F X, Xu W Y, Di C, Zhou S X, Xue Y B, Yu J J, Su Z. Increased expression of *OsSPX1* enhances cold/subfreezing tolerance in tobacco and *Arabidopsis thaliana*. Plant Biotechnology Journal, 2009, 7 (7): 550-561
- [ 19 ] Dhindsa R S, Matowe W. Drought tolerance in two mosses: correlated with enzymatic defence against lipid peroxidation. Journal of Experimental Botany, 1981, 32 (1): 79-91
- [20] Shi J, Fu X Z, Peng T, Huang X S, Fan Q J, Liu J H. Spermine pretreatment confers dehydration tolerance of citrus in vitro plants via modulation of antioxidative capacity and stomatal response. Tree Physiology, 2010, 30 (7): 914-922
- [ 21 ] Aebi H. Catalase in vitro. Methods in Enzymology, 1984, 105 (105): 121-126

- [ 22 ] Bai C, Sen P, Hofmann K, Ma L, Goebl M, Harper J W, Elledge S J. SKP1 connects cell cycle regulators to the ubiquitin proteolysis machinery through a novel motif, the F-box. Cell, 1996, 86 ( 2 ); 263-274
- [ 23 ] Edward T K, Michele P. The F-box protein family. Genome Biology, 2000, 1 (5): 1-7
- [24] 于兰芳,周硕,张双喜,纪玉洁,刘永伟. 葡萄F-box 基因 *VvF-box5* 的基因结构与表达分析. 植物遗传资源学报, 2018, 19(2): 361-369
  Yu L F, Zhou S, Zhang S X, Ji Y J, Liu Y W. Analysis of gene structure and expression of f-box gene *VvF-box5* in grape. Journal of Plant Genetic Resources, 2018, 19(2): 361-369
- [25] Cui H R, Zhang Z R, Lv W. Genome-wide characterization and analysis of F-box protein-encoding genes in the *Malus domestica* genome. Molecular Genetics and Genomics, 2015, 290 (4): 1435-1446
- [26] Jia F, Wu B, Li H. Genome-wide identification and characterisation of F-box family in maize. Molecular Genetics and Genomics, 2013, 288 (11): 559-577
- [27] Li Y, Jia F, Yu Y. The SCF E3 ligase AtPP2-B11 plays a negative role in response to drought stress in *Arabidopsis*. Plant Molecular Biology Reporter, 2014, 32 (5): 943-956
- [28] Zhao Z X, Zhang G Q, Zhou S M. The improvement of salt tolerance in transgenic tobacco by overexpression of wheat F-box gene *TaFBA1*. Plant Science, 2017 (259): 71-85
- [ 29 ] An J P, Li R, Qu F J. Apple F-Box protein MdMAX2 regulates plant photomorphogenesis and stress response. Frontiers in Plant Science, 2016, 7 (1235): 1685-1699

- [ 30 ] Hou L X, Zhang G K, Zhao F G. VvBAP1 is involved in cold tolerance in *Vitis vinifera* L. Frontiers in Plant Science, 2018, 9 (6): 102-123
- [31] Gu L J, Cheng H M. Isolation, molecular cloning and characterization of a cold-responsive gene, *AmDUF1517*, from *Ammopiptanthus mongolicus*. Plant Cell, Tissue and Organ Culture, 2014, 117 (2): 201-211
- [ 32 ] Mccord J M, fridovich I. Speroxide dismutase; an enzymic function for erythrocuprein (hemocuprein). Journal of Biological Chemistry, 1969, 224 (22): 6049-6055
- [ 33 ] Shalata A, Neumann P M. Exogenous ascorbic acid (vitamin C) increases resistance to salt stress and reduces lipid peroxidation. Journal of Experimental Botany, 2001, 52 ( 364 ): 2207-2211
- [34] Zhu X, Li Q, Hu J, Wang M, Li X. Molecular cloning and characterization of spermine synthesis gene associated with cold tolerance in Tea plant (*Camellia sinensis*). Applied Biochemistry and Biotechnology, 2015, 177 (5): 1055-1068
- [35] Steponkus P L. Role of the plasma membrane in freezing injury and cold acclimation. Annual Review of Plant Biology, 2003, 35(1): 543-584
- [ 36 ] Sagarika M, Sanjeev K, Bedabrata S. Crosstalk between salt, drought, and cold stress in plants: Toward genetic engineering for stress tolerance. Abiotic Stress Resports Plant, 2016, 23 ( 5 ): 57-88
- [ 37 ] Nelofer J, Umer M, Khurshid I, Riffat J. Cold stress modulates osmolytes and antioxidant system in *Calendula officinalis*. Acta Physiologiae Plantarum, 2018, 40 ( 4 ): 73-86